

Beispiel für 1. Hauptsatz Druckspeicher od.
Gasfeder

0-D Beispiel, d.h. Hydrostatik.

$\frac{1}{\rho} \ll \frac{1}{\rho} r$, dann erfolgt die Zustandsänderung
isotherm

$\frac{1}{\rho} \gg \frac{1}{\rho} r$, dann erfolgt die Zustandsänderung
isentrope



TECHNISCHE
UNIVERSITÄT
DARMSTADT



Grundlagen der
Turbomaschinen und
Fluidsysteme



Bestimmen der systemtypischen

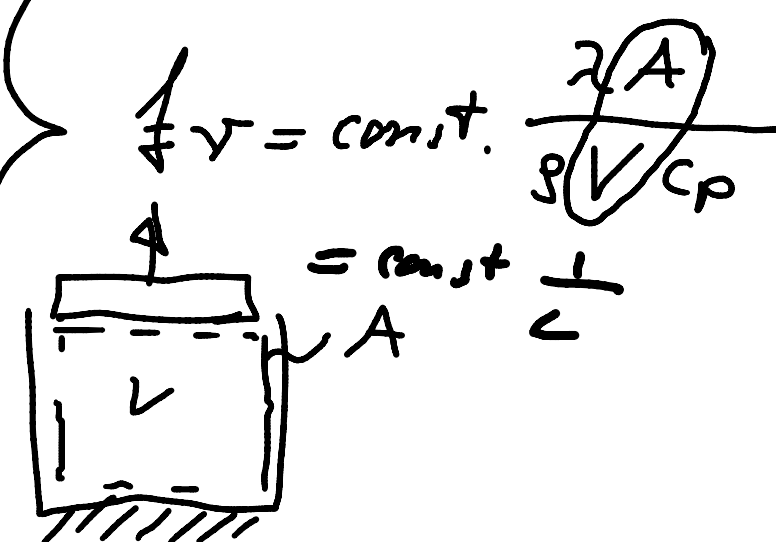
Fragezeit $f_r = \frac{1}{\text{Relaxationszeit}} = \frac{1}{\text{Diffusionszeit d. Wärme.}}$

1.) Übe Dimensionsanalyse

$h = c_p T$

$q = -\lambda \nabla T$

	f_r	$\frac{SVc_p}{\lambda A}$
E		
L		
Θ		



$f_r = \text{const.} \cdot \frac{\lambda A}{SVc_p}$
 $= \text{const.} \cdot \frac{1}{\frac{V}{A}}$

$\frac{A}{V} = \frac{\text{Oberfläche}}{\text{Volumen}}$ spez. Oberfläche



ℓ



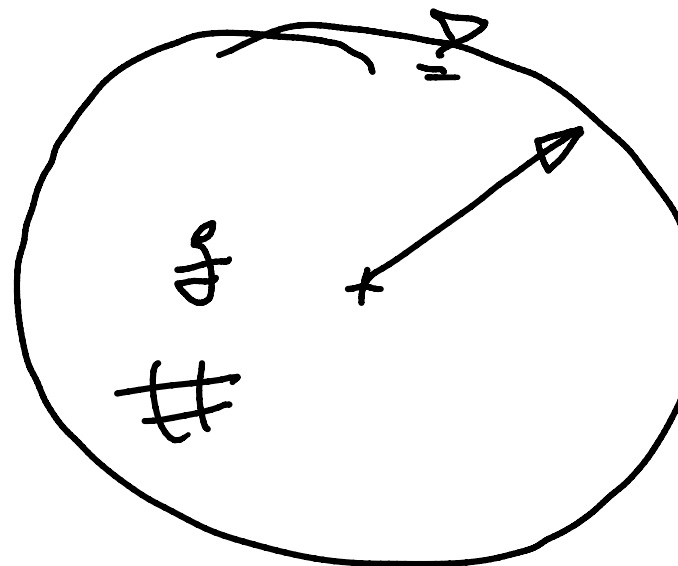
$$A' = 4\pi R'^2$$

$$V' = \frac{4}{3}\pi R'^3$$

$$\left(\frac{A}{V}\right)' = 3 \frac{1}{R'}$$

$$\frac{1}{R'} = \frac{1}{R} \frac{R}{R'}$$

ℓ



$$A = 4\pi R^2$$

$$V = \frac{4}{3}\pi R^3$$

Speziell in ℓ Oberfläch

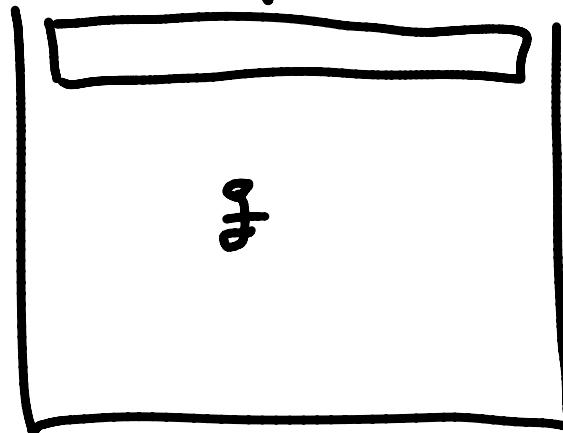
$$\frac{A}{V} = \frac{4\pi R^2}{\frac{4}{3}\pi R^3} = 3 \frac{1}{R}$$



physikalisch

↔
Äquivalenz

$$\hat{z} \sin(2\pi f t)$$

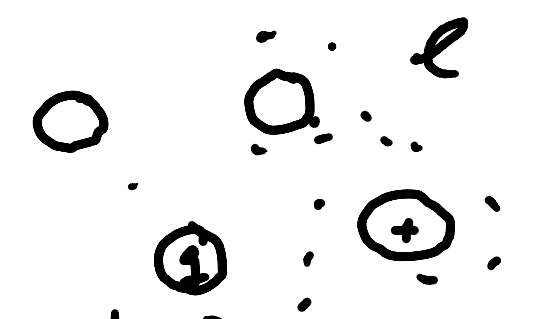


$$\frac{1}{\lambda} = \frac{A}{V} \sim \frac{1}{0.3 \text{ m}}$$

$$f_r \sim \frac{1}{\lambda}$$

$$f_r = 0.01 \text{ Hz}$$

$$= 0.01 \frac{0.3}{10^{-3}} \text{ Hz} \approx \underline{\underline{3 \text{ Hz}}}$$

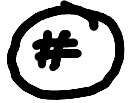


$$\left(\frac{A}{V}\right)' = \frac{3}{R'} = \frac{3}{10^{-3}} \frac{1}{\text{m}}$$

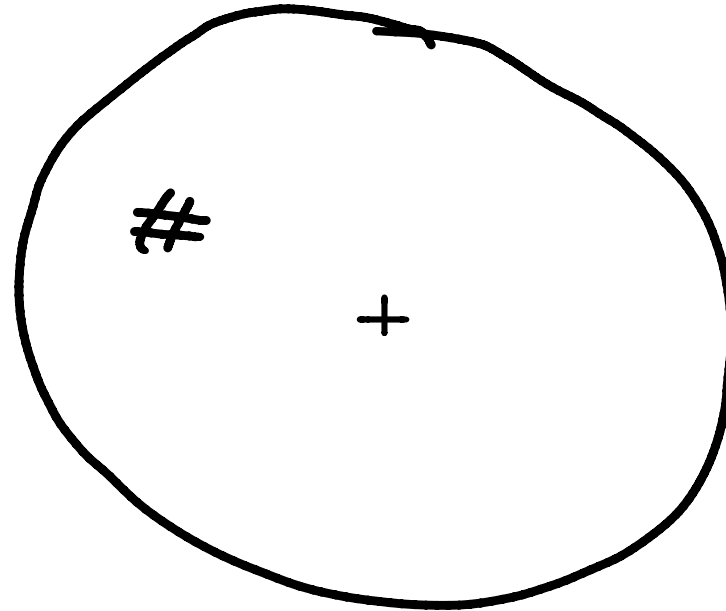
$$f_r' \sim \frac{1}{R'}$$

$$f_r' = f_r \left(\frac{R'}{\lambda}\right)^{-1}$$

typisch für z.B.
Radius R'



typisch für Radius R



geometrische Ähnlichkeit:

dimensionslose Gestaltparameter $\mathcal{R}_i = \frac{l_i}{L}$

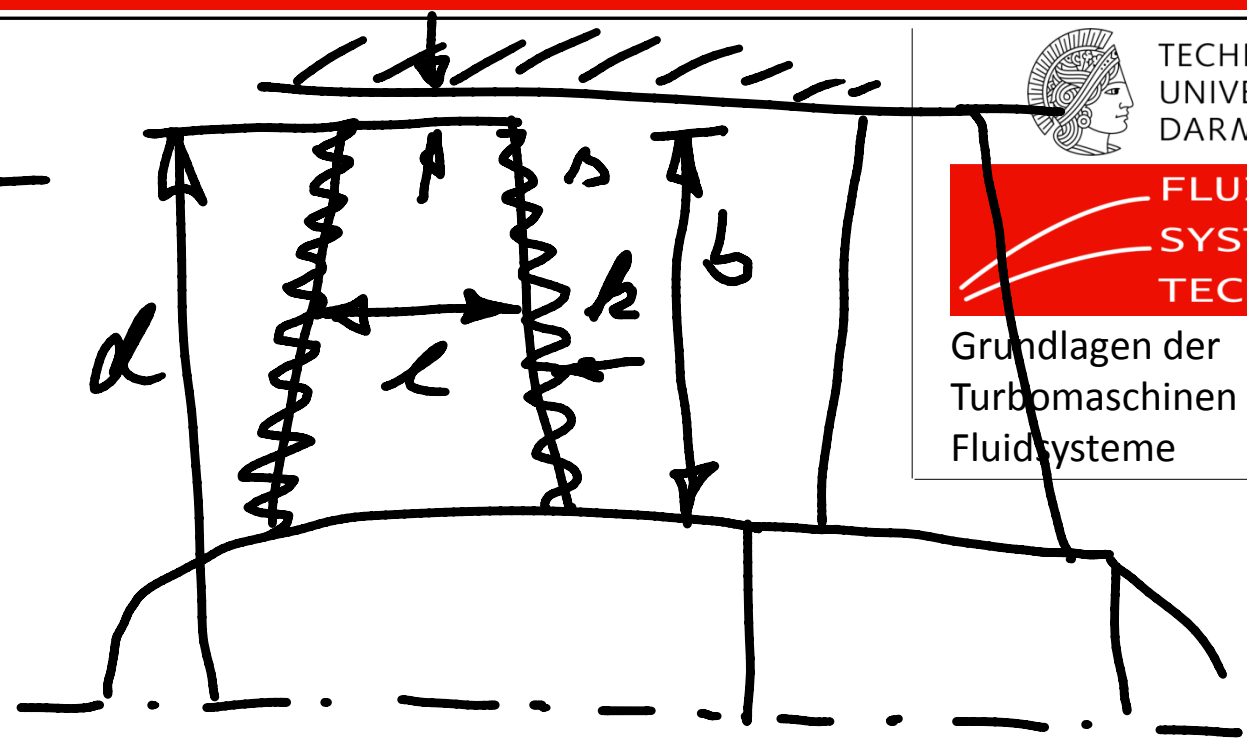
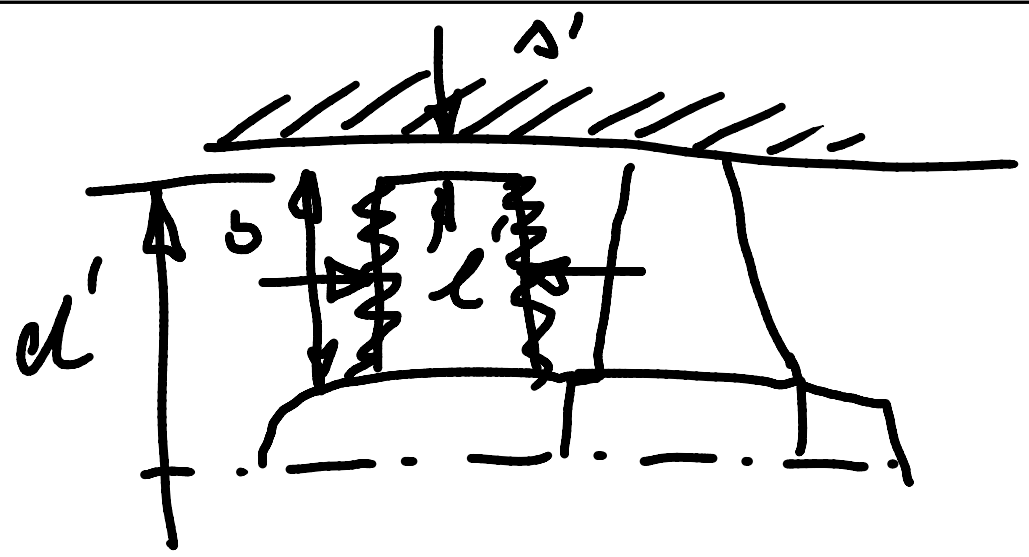
$$\mathcal{R}'_i \stackrel{!}{=} \mathcal{R}_i, \quad i=1 \dots N$$



TECHNISCHE
UNIVERSITÄT
DARMSTADT



Grundlagen der
Turbomaschinen und
Fluidsysteme



$$\kappa'_1 = \frac{\alpha'}{\alpha'} = 1$$

$$\kappa'_2 = \frac{e'}{\alpha'} = 1$$

$$\kappa'_3 = \frac{h'}{\alpha'} = 1$$

$$\kappa_1 = \frac{\alpha}{\alpha} \text{ (sad face)}$$

$$\kappa_2 = \frac{e}{\alpha} \text{ (happy face)}$$

$$\kappa_3 = \frac{h}{\alpha} \text{ (sad face)}$$

physikalische Ähnlichkeit

$$\Pi_i' = \Pi_i \quad i=1 \dots N$$

geometrische Ähnlichkeit ist ein Merkmal von physikalischer Ähnlichkeit.

$$\mathcal{R}_k' = \mathcal{R}_k$$



vollständig physikalische Ähnlichkeit.

$$\Pi_1 = f(\Pi_2, \dots, \Pi_N) \quad \Pi_1' = f(\Pi_2', \dots)$$

$$\frac{nd^2}{\rho}$$

Skalierung

$$\mathcal{Z} = \mathcal{Z}(\text{Re}, \frac{\nu}{\alpha}, \frac{k}{\alpha}, \varphi = \frac{\dot{V}}{nd^3}, \text{Gestalt})$$

$$\mathcal{Z}' = \mathcal{Z}'(\text{Re}', (\frac{\nu}{\alpha})', (\frac{k}{\alpha})', \varphi', \text{Gestalt})$$



Ähnlichkeit Ähnlichkeit.

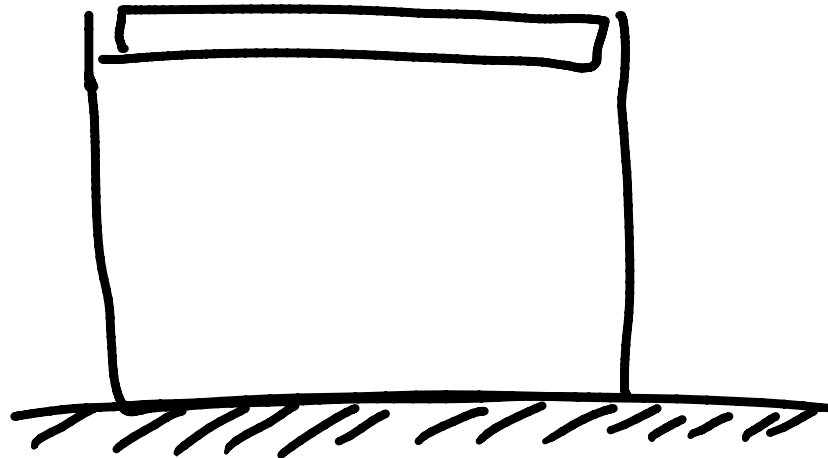
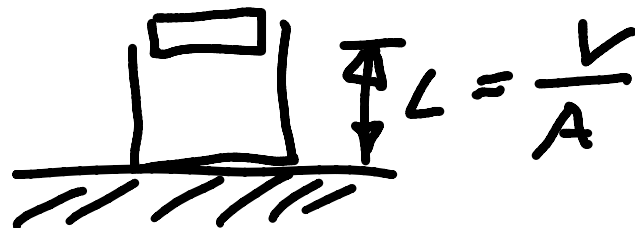
Mindestens ein maßhöhen
dimensionales Produkt ist zwischen
Modell und Großanfertigung nicht
identisch.

$$z.B. \quad Re' \neq Re, \quad \left(\frac{h}{a}\right)' \neq \left(\frac{h}{a}\right)$$

$$\hookrightarrow \eta' \neq \eta$$

$$\eta - \eta' = f_n(Re, Re', \dots) \quad \boxed{\text{Aufwertung}}$$

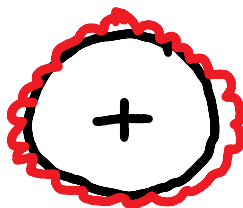




$\frac{1}{L}$ spezifische Oberfläche

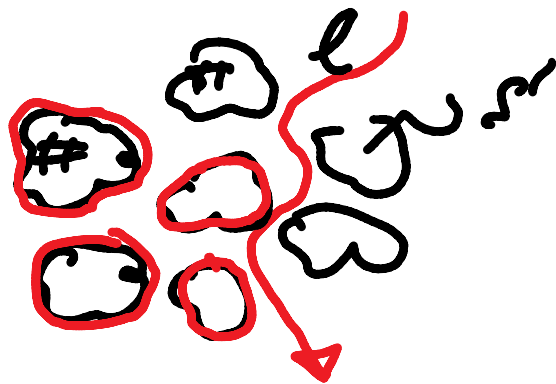
Wenn eine große Oberfläche im Vergleich zum
Volumen abbaut wird, dann heißt das
eine große spezifische Oberfläche.

Sonnenwahr-
Teilchen



→ Anlagerung, Adhäsion,
Sorption,

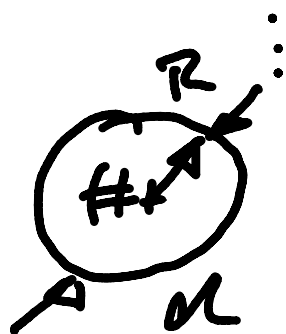
→ Filter



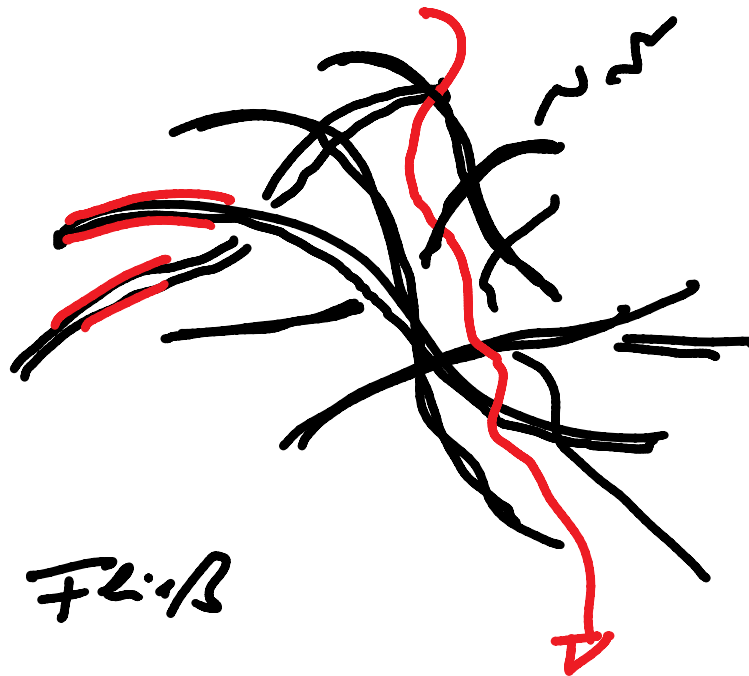
Schichtung

z.B. Boden

Chromatographie



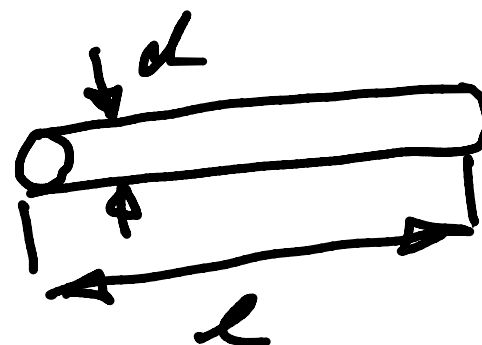
$$\frac{3}{R} = \frac{6}{d}$$



Fließ

z.B. Filter

hautig in der Natur.



$$\frac{\pi d l + \frac{\pi}{2} d^2}{\frac{\pi}{4} d^2 l} =$$

$$= \frac{4}{d} + \frac{2}{l} \approx \frac{4}{d} \text{ für } l \gg d$$



$$r = t \dots$$



2. Zusatz zu § 3 ω
über Modellbildung \rightarrow Gleichungen.

\rightarrow dimensionierter
Gleich.

\rightarrow herauslesen der
dimensionierten Größ.

\rightarrow inspektionelle Dimensionsanalyse
Methode der Differentialgleich.

\rightarrow eingetragene Gef. \rightarrow

Schönes Beispiel für inspektive
Dimensionsanalyse

Reitkov \rightarrow Sommerfeldzahl

$$So = \frac{F}{\mu \Omega D B} \left(\frac{2h}{D} \right)^2$$



TECHNISCHE
UNIVERSITÄT
DARMSTADT



Grundlagen der
Turbomaschinen und
Fluidsysteme

Inspektionsdimensionen
am Beispiel Luftsch.

1.) Beispiel zur Ermittlung

2.) " " Dimensionen

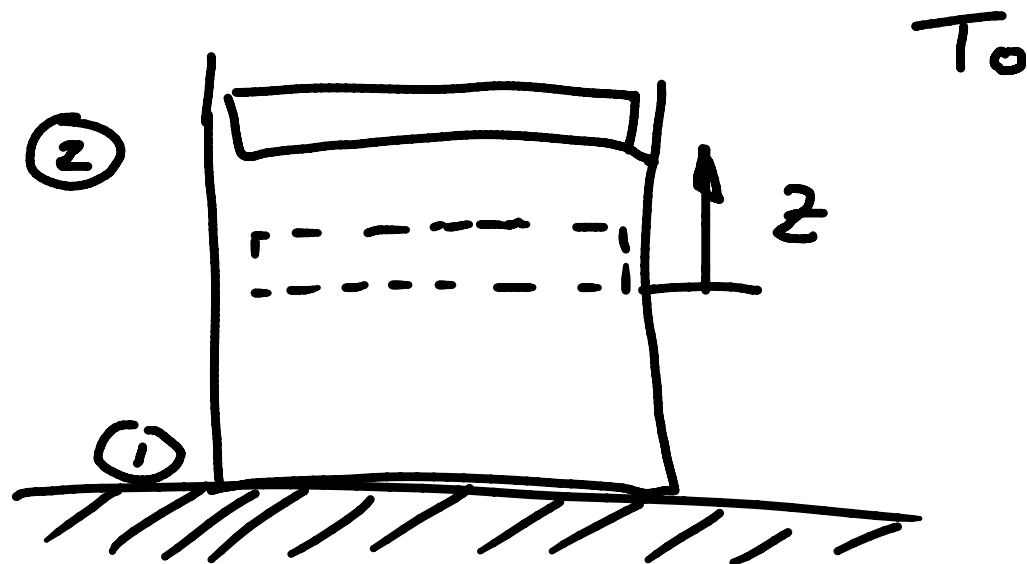
3.) Beispiel für eine Untersuchung
über einen sogenannten
Störansatz.



TECHNISCHE
UNIVERSITÄT
DARMSTADT



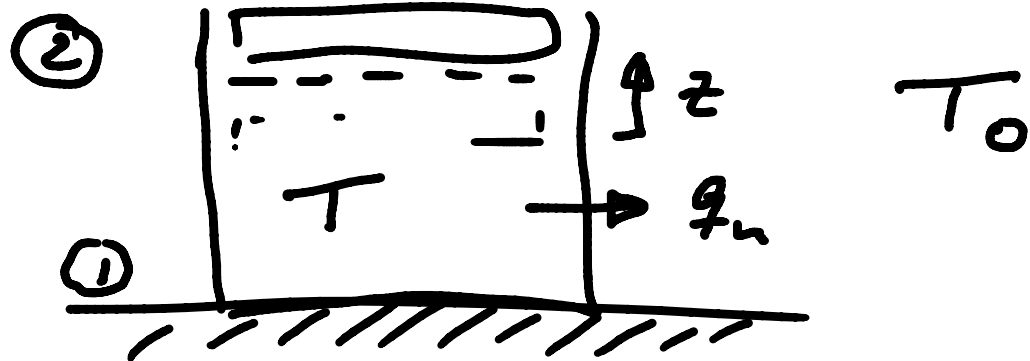
Grundlagen der
Turbomaschinen und
Fluidsysteme



1. Kontinuität

$$\int_0^L \frac{\partial}{\partial t} (\underbrace{\rho A}_{\text{const.}}) dz + \dot{m}_2 - \dot{m}_1 = 0$$

$$\dot{\rho} (V_0 + zA) + \rho A \dot{z} = 0$$



$$\int_0^L \frac{\partial}{\partial t} \left[\rho \left(e + \frac{u^2}{2} \right) \right] A dz + \dot{m}_2 \overset{c_p T}{=} h_{e2} - \dot{m}_1 \underset{=} h_{e1} = \dot{P}_2 + \dot{Q}$$

$e \gg \frac{u^2}{2}$



$$(\rho e)' (V_0 + z \Lambda) + \rho T c_p A \dot{z} = -k(T - T_0) \Lambda$$

Newton



3. Thermisch Zustandsfließ

①

$$p = \underline{\rho R T}$$

Nicht/linear!

②

$$\dot{\rho}(V_0 + zA) + \underline{\rho} \dot{z}A = 0$$

$$\left. \begin{array}{l} \rho(t=0) = \rho_0 \\ T(t=0) = T_0 \end{array} \right\} \text{Aufbr. bed.}$$

$$(\rho e)'(V_0 + zA) + c_p T \rho \dot{z}A + k N^{\nu} (T - T_c) = 0$$

③

$$\underline{\rho} \dot{\rho}(V_0 + zA) + \gamma \rho \dot{z}A + (\gamma - 1) k N^{\nu} (T - T_0) = 0$$

$$\rho e = \rho T c_v = \rho \frac{c_v}{R} = \rho \frac{c_v}{c_p - c_v} = \rho \frac{1}{\gamma - 1}$$

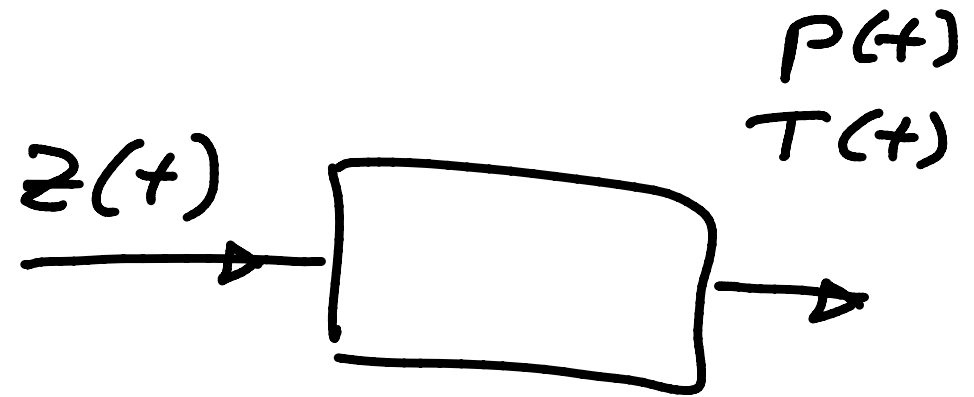


↳ Nichtlineare Anfangswertprobleme.

↳ Integration (z.B. Runge-Kutta-
Verfahren)

ist ohne weitere numerische
Methoden

z.B. Dynamische
Modelle
Numerische
Methoden
⋮



Analytische Lösung:

Lineare um a Betriebszustand.

$$p = p_0 + \tilde{p}(t)$$

$$P = P_0 + \tilde{P}(t)$$

$$T = T_0 + \tilde{T}(t)$$

Störgröße \ll umgebende Größe.

Perturbation

klein

$$P = pRT \Leftrightarrow P_0 + \tilde{P} = (p_0 + \tilde{p})(T_0 + \tilde{T})R$$

$$P_0 + \tilde{P} = p_0 R T_0 + \tilde{p} T_0 R + \tilde{T} p_0 R + \tilde{p} \tilde{T} R$$





$$\tilde{m}^0 : \quad \rho_0 = \mathcal{R} \rho_0 T_0$$

$$\tilde{m}^1 : \quad \tilde{\rho} = \tilde{T}_c \mathcal{R} + \tilde{T} \rho_c \mathcal{R}$$

linear 😊



TECHNISCHE
UNIVERSITÄT
DARMSTADT



Grundlagen der
Turbomaschinen und
Fluidsysteme



TECHNISCHE
UNIVERSITÄT
DARMSTADT



Grundlagen der
Turbomaschinen und
Fluidsysteme



TECHNISCHE
UNIVERSITÄT
DARMSTADT



Grundlagen der
Turbomaschinen und
Fluidsysteme



TECHNISCHE
UNIVERSITÄT
DARMSTADT



Grundlagen der
Turbomaschinen und
Fluidsysteme



TECHNISCHE
UNIVERSITÄT
DARMSTADT



Grundlagen der
Turbomaschinen und
Fluidsysteme



TECHNISCHE
UNIVERSITÄT
DARMSTADT



Grundlagen der
Turbomaschinen und
Fluidsysteme



TECHNISCHE
UNIVERSITÄT
DARMSTADT



Grundlagen der
Turbomaschinen und
Fluidsysteme



TECHNISCHE
UNIVERSITÄT
DARMSTADT



Grundlagen der
Turbomaschinen und
Fluidsysteme



TECHNISCHE
UNIVERSITÄT
DARMSTADT



Grundlagen der
Turbomaschinen und
Fluidsysteme



TECHNISCHE
UNIVERSITÄT
DARMSTADT



Grundlagen der
Turbomaschinen und
Fluidsysteme



TECHNISCHE
UNIVERSITÄT
DARMSTADT



Grundlagen der
Turbomaschinen und
Fluidsysteme



TECHNISCHE
UNIVERSITÄT
DARMSTADT



Grundlagen der
Turbomaschinen und
Fluidsysteme



TECHNISCHE
UNIVERSITÄT
DARMSTADT



Grundlagen der
Turbomaschinen und
Fluidsysteme